

C0r0n@ 2 Inspect

Обзор и анализ научных статей, связанных с экспериментальными методиками и методами, используемыми в вакцинах против c0r0n@v | rus, доказательствами, ущербом, гипотезами, мнениями и проблемами.

Пятница, 19 ноября 2021 г.

Выявление закономерностей в вакцинах c0r0n @ v | rus: Трещины и морщины. Часть 1

Один из самых загадочных паттернов, наблюдаемых в вакцинах, был получен врачом (Campra, P. 2021) в образцах Янсена, см. рисунок 1. Можно проверить почти геометрический рисунок нитей, который мог бы почти соответствовать кривым фрактальных форм, даже перекрывающихся слоистых лепестков. Рисунок слишком регулярен, чтобы реагировать на случайность, однако он уже наблюдался в предыдущем посте о [фрактальных наноантеннах](#), что процессы кристаллизации, вызванные дегидратацией, сушкой, применением тепла или микроволн, приводят к образованию дендритных структур.

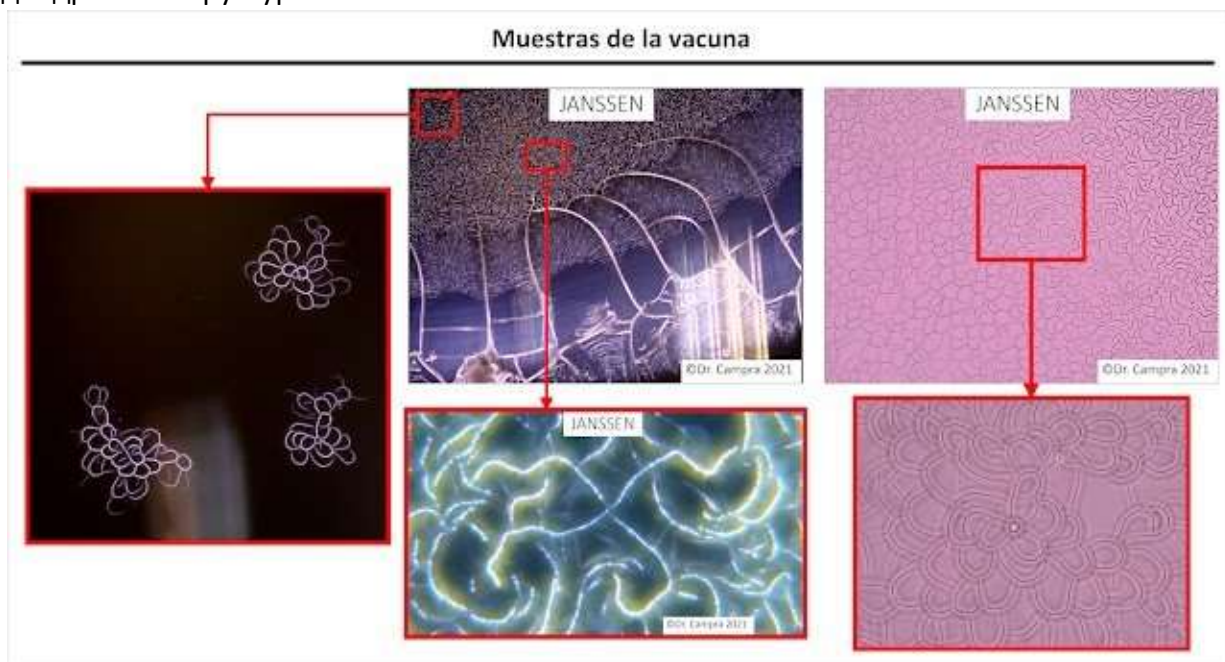


Рис. 1. Наблюдения за образцами вакцины Янсена, показывающими изогнутые, почти фрактальные узоры. (Кампра, П. 2021)

Чтобы решить задачу идентификации узора, вам нужно разделить задачу на две части. С одной стороны, обратите внимание на линейные формы или основные ветви рисунка 1a, а с другой стороны, на дольчатые или лепестковые узоры рисунков 1b, 1c и 1e.

Линейные формы или ветви

Самый простой рисунок для идентификации на этих изображениях - это основное разветвление, наблюдаемое в образцах вакцины Pfizer, в высушенных каплях. Рисунок был

идентифицирован с трещинами, которые возникают в солевом растворе, состоящем из гидрогеля, как отражено в работе (Yakhno, T. 2008) под названием " *Фазовые переходы белка, вызванные солью в высыхающих каплях* ". Если вы посмотрите на рисунок 2, вы можете увидеть сходство между обеими морфологиями и переходами высыхания, эквивалентными в точках 1, 2 и 3, но не в 4, как будет объяснено далее. Тепловое расширение, производимое при высыхании образца, вызывает его расширение и, таким образом, образование нескольких хорошо дифференцированных областей. Например, точки 1 на рисунке 2 показывают однородную пленку белка или другого материала, совпадающую в образце вакцины, характеризующуюся своей размытой линейностью. В точке, отмеченных цифрой 2, можно наблюдать осадок материала, который еще не сформировался в однородную пленку, обозначающую небольшой градиент. Он также характеризуется наличием небольшой демаркационной линии. В области 3 наблюдается отложение геля. Наконец, в области 4 следует оценить кластеры или группы геля вместе с материалом раствора. В случае (Yakhno, T. 2008), рисунок 2i (левая панель) использовались BSA (бычий сывороточный альбумин или бычий сывороточный альбумин) и хлорид натрия (NaCl). В случае образца вакцины Janssen, проанализированного доктором Кампррой, **присутствие оксид графена , углеродные нанотрубки и с большой вероятностью некоторый тип гидрогеля** , и другие материалы, которые еще предстоит идентифицировать. Это объясняет морфологическое различие кластеров в области 4.

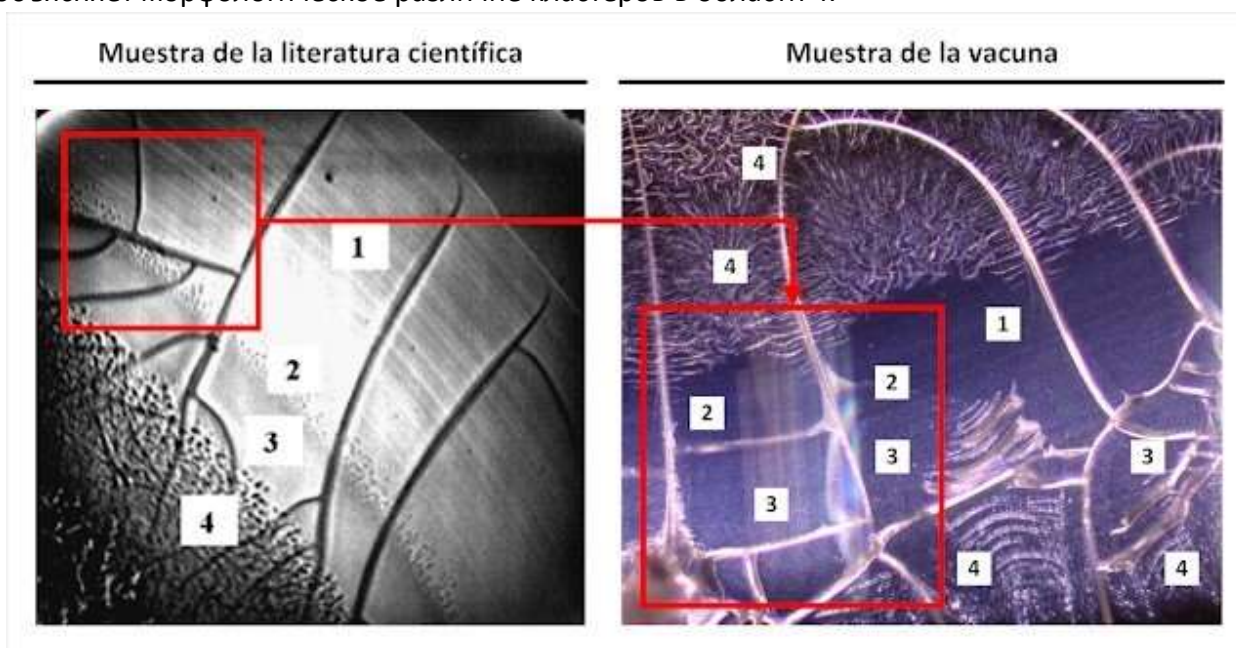


Рис. 2. Таблица слева соответствует фазам перехода при высыхании капли физиологического раствора (Яхно, Т. 2008). Справа изображение, полученное под микроскопом врачом (Кампра, П. 2021).

Совпадение наблюдается в линейных узорах, которые проходят через изображение и растрескивают образец, образуя трещины или трещины из-за процесса высыхания. Однако образования или кластеры, полученные в области 4, не соответствуют.

Это связано с тем, что солевой раствор (Яхно, Т. 2008) не содержит графена, хотя и содержит гидрогель, что позволяет подтвердить, что при высыхании солевых растворов на основе гидрогеля образуются трещины, очень похожие на те, которые наблюдаются в образцах вакцины Pfizer, согласно изображениям (Кампра, П. 2021).

Узоры в форме долек или лепестков

Паттерны, наблюдаемые врачом в вакцине Янссена (Campra, P. 2021), представляют собой дольчатую морфологию с различной степенью регулярности, которая, по-видимому,

следует фрактальному мотиву в своем составе и группировке. Скорее всего, это на самом деле морщины, вызванные дегидратацией, высыханием или нагреванием вокруг тонкой пленки материала. Это можно наблюдать на рисунке 3, когда образцы вакцины сравниваются с иерархическим экспериментом с морщинами (Jung, WB; Cho, KM; Lee, WK; Odom, TW; Jung, HT 2018), где линии, которые рисуют складки, очень похожи. Изображения образца вакцины Янсена на рисунке 3 а), b) и c) соответствуют вырезкам фотографий, наблюдаемых на рисунке 1. Вырезки были увеличены для облегчения процесса идентификации.

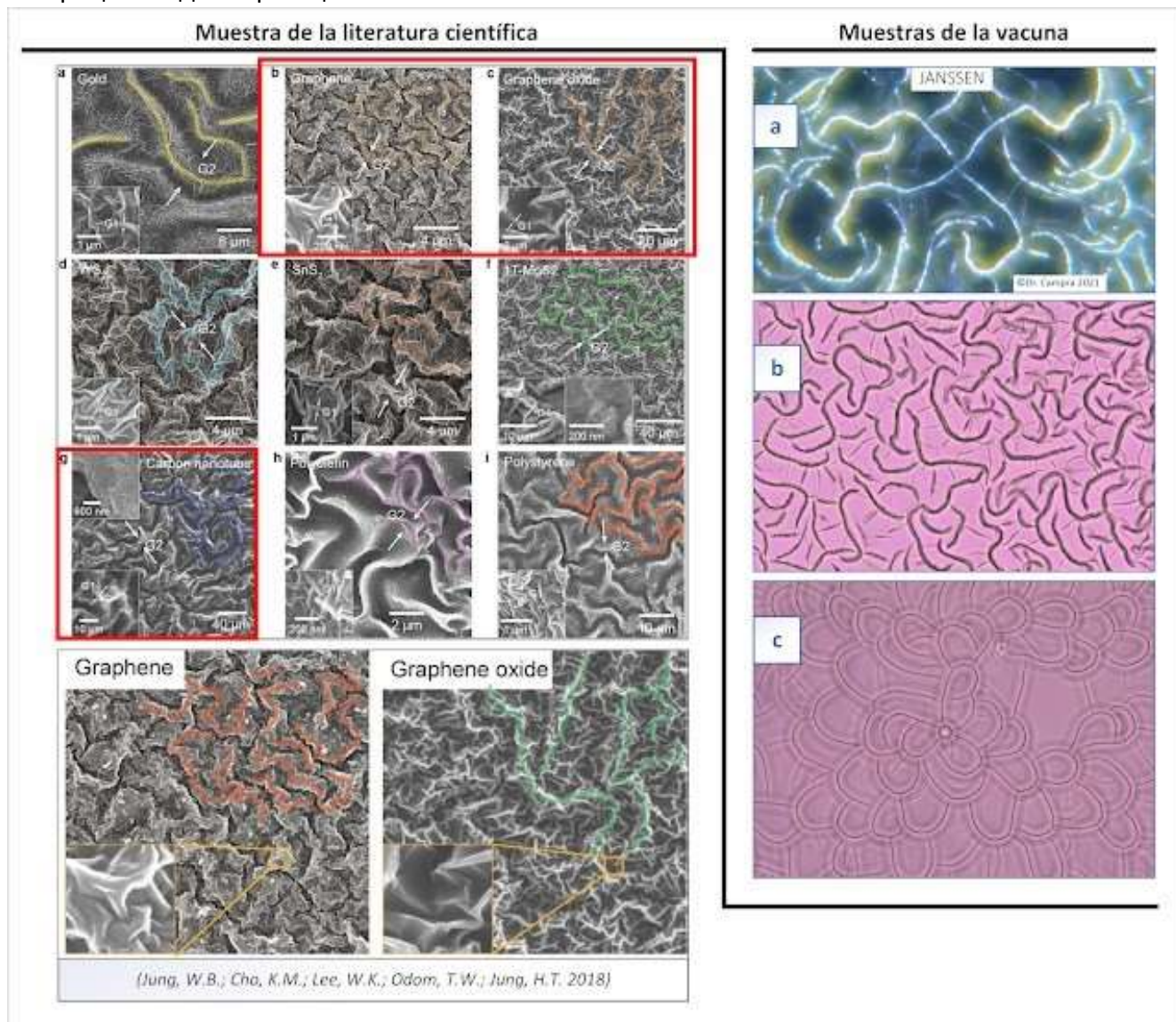


Рис. 3. Слева изображение с образцами морщин и складок, образованных с помощью пленок из различных материалов, среди которых выделяются графен, оксид графена, углеродные нанотрубки, дисульфид молибдена (MoS₂), полистирол (полистирольный), полиолефин (полиолефиновый). Среди прочих, в эксперименте (Jung, WB; Cho, KM; Lee, WK; Odom, TW; Jung, HT 2018). Справа — изображения образцов вакцины Janssen, полученные врачом (Campra, P. 2021)

Регулярность и морфология узоров морщин в образцах научной литературы (Jung, WB; Cho, KM; Lee, WK; Odom, TW; Jung, HT 2018) определяются используемым материалом, температурой и временем его нанесения. Модуляция этих факторов вызывает

образование различных поколений или фаз морщины, что влияет на кривизну и угловатость контура ее профиля. Учитывая, что в образцах, предоставленных командой Jung, эти профили уже окрашены, они были выбраны, вырезаны и наложены на образцы вакцины, особенно на рисунке 3b справа, поскольку он лучше всего характеризует узор образца, представляя ряд фаз морщин, аналогичных сравниваемому. Применяя этот метод, были получены результаты, которые можно увидеть на рисунках 4, 5, 6, 7,8 и 9, где узоры, которые показали наибольшее сходство, были углеродными нанотрубками, графеном и оксидом графена. Однако частичное сходство наблюдалось также в случае дисульфида молибдена и таких полимеров, как полиолефин и полистирол.

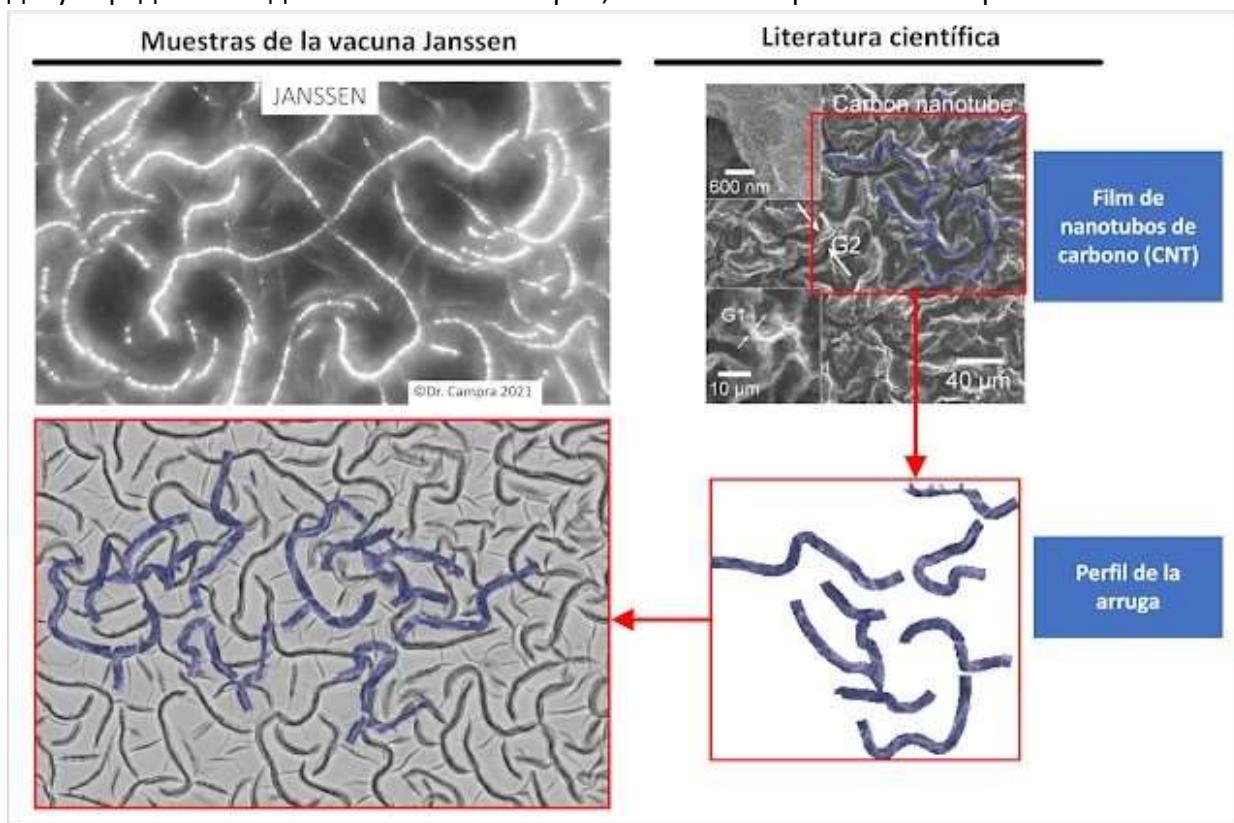


Рис. 4. Перекрывание углеродных нанотрубок в образце вакцины Янсена

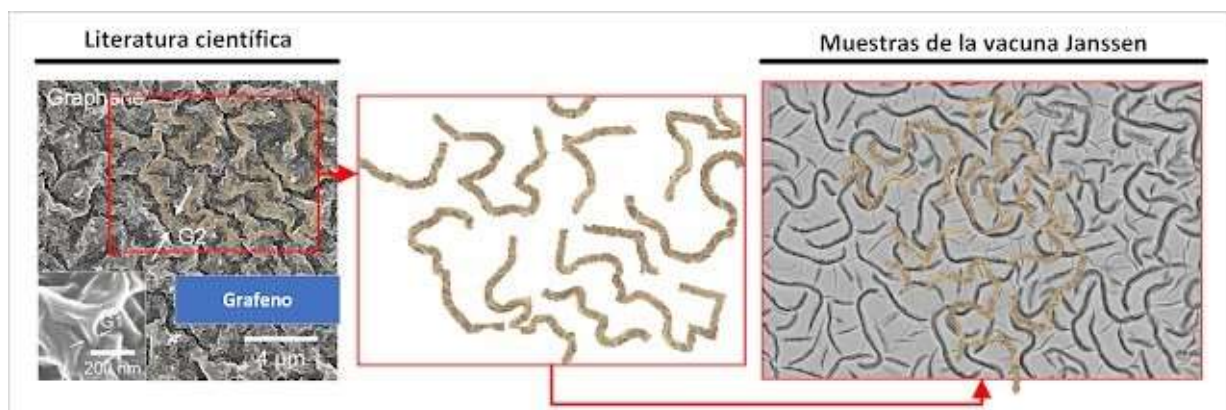


Рис. 5. Наложение графеновых складок на образец вакцины Янсена

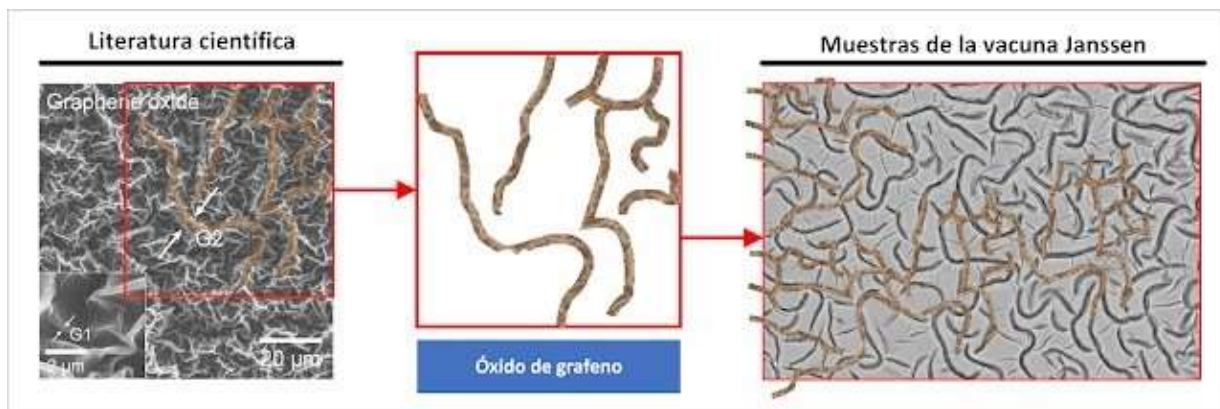


Рис. 6. Наложение складок оксида графена на образец вакцины Янсена

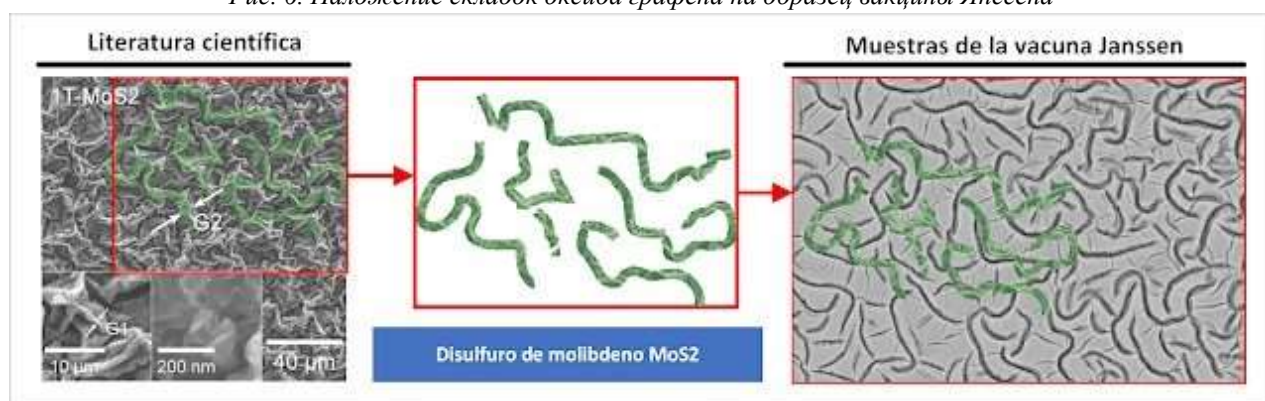


Рис. 7. Наложение морщин дисульфида молибдена MoS2 в образце вакцины Янсена

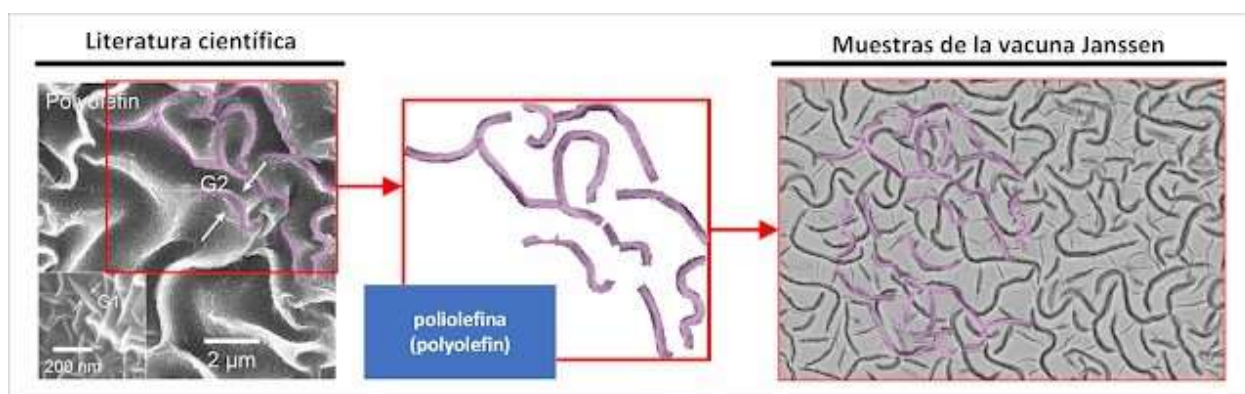


Рис. 8. Наложение полиолефиновых складок на образец вакцины Янсена

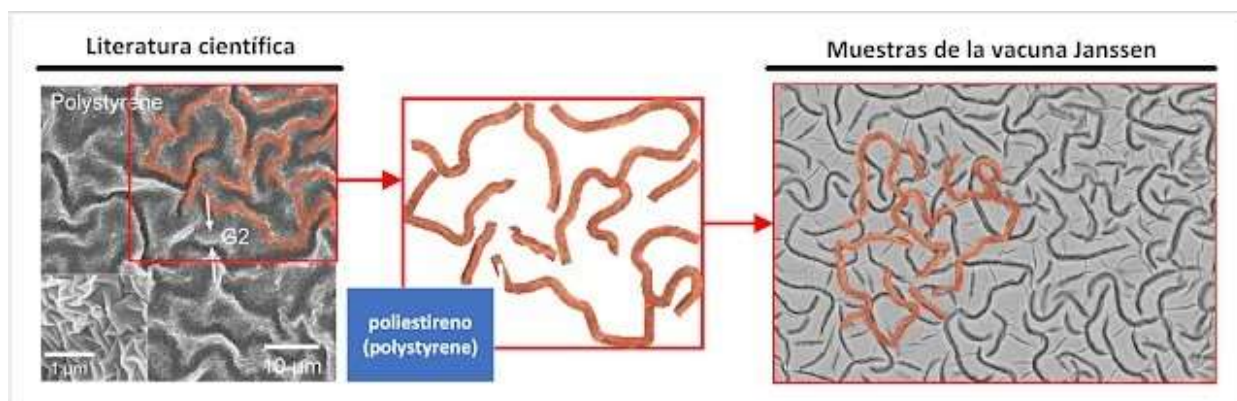


Рис. 9. Наложение складок пенопласта на образец вакцины Янсена

Случай углеродных нанотрубок и графена показал значительную степень перекрытия в перекрытии, что согласуется с материалом, обнаруженным в вакцинах c0r0n @ v | rus. Однако полимеры также выделялись, особенно полиолефин. Из этого можно сделать вывод, что гидрогели могут иметь отношение к образованию этих морщин, к процессу высыхания или дегидратации, что согласуется с присутствием полимеров в [тестах Рамановской спектроскопии](#), где возможное присутствие ПВС, ПКТ-12, полиакриламида и [даже полипиррола](#), используемых для формирования нейронных интерфейсов.

Библиография

1. Annarelli, CC; Fornazero, J.; Bert, J.; Colombani, J. (2001). Модели трещин в высыхающих каплях белкового раствора. The European Physical Journal E, 5 (1), стр. 599-603.
<https://doi.org/10.1007/s101890170043>
2. Кампра, П. (2021a). Наблюдения за возможными микробиотиками в вакцинах COVID RNAm Version 1. <http://dx.doi.org/10.13140/RG.2.2.13875.55840>
3. Кампра, П. (2021b). Обнаружение графена в вакцинах COVID19 с помощью микрорамановской спектроскопии.
https://www.researchgate.net/publication/355979001_DETECTION_OF_GRAPHENE_IN_C_VACCINES_COVID19
4. Jung, WB; Cho, KM; Lee, WK; Odom, TW; Jung, HT (2018). Универсальный метод создания иерархических морщин на тонкопленочных поверхностях. ACS applied materials & interfaces, 10 (1), стр. 1347-1355. <https://doi.org/10.1021/acsami.7b14011>
5. Яхно, Т. (2008). Фазовые переходы белков, вызванные солью, в высыхающих каплях. Журнал коллоидной и интерфейсной науки, 318 (2), стр. 225-230.
<https://doi.org/10.1016/j.jcis.2007.10.020>